

超 高 頻 天 線

蘇聯 A.3. 爱金堡著
畢德顯 保鏗 蔡希堯 徐越彥譯

人民郵電出版社

Г. З. АЙЗЕНБЕРГ
АНТЕННЫ УЛЬТРАКОРОТКИХ
ВОЛН
СВЯЗЬИЗДАТ МОСКВА 1957

内 容 提 要

本书所講述的各种天綫，大部分是适用于超高頻接力通信用的天綫，目前我国正在开始发展超高頻接力多路通信，因此我們翻譯出版这本书，以适应从事于这方面的工作同志的需要。

本书詳細地討論了超高頻天綫的基本理論，講述了喇叭天綫、透鏡天綫、拋物面天綫、角形天綫、縫隙天綫、介質天綫、引向天綫和螺旋天綫的設計数据和使用特点，对于潛望天綫系統也作了詳細的分析。

本书是供架設超高頻天綫的工程师閱讀的，对于天綫研究人員和大学无线电系师生也有参考价值。

Dt34/114
超 高 频 天 线

著者：苏联 A. Z. 爱 金 堡

譯者：毕德显 保錚 蔡希尧 徐越彥

出版者：人 民 邮 电 出 版 社

北京东四六条13号

(北京市書刊出版業執業許可証出字第〇四八号)

印刷者：北 京 市 印 刷 一 厂

发行者：新 华 書 店

开本 850×1168 1/52 1961年11月北京第一版

印张 21.28/52 頁数 700 1961年11月北京第一次印刷

印刷字数 587,000 字 印数 1—5,150 册

统一书号：15045·总1165-无309

定 价：(11)4.40元

前　　言

本書是超高頻天線和饋線專論的第一部分。書中敘述了能量傳輸
線的一般理論，也敘述了天線的一般理論、技术数据与工程計算方法。
对于用在通信上的天線，特別是厘米波和分米波微波电路中的天
線給予了特別注意。

准备在第二部分里研究天線的調諧、饋電、匹配、轉接及多頻率
运用等問題。为了叙述的完整，在第一部分里援引了一些波导激励問題
的材料。在第二部分里也将引用另外的天線（皺紋天線，根据給定
的方向圖設計鏡天線等等）材料。

本專論的讀者对象是在天線架設方面工作的工程师。

在本書第一部分里主要是采用科学技术期刊上的材料，也有一些
是未曾發表过的数据。

除第 19 和 22 兩章以外都是我自己写的。第 19 章除了 § 8 和 § 9
兩节以外是 A. M. 包格拉斯写的。第 22 章是我和 A. П. 爱波斯坦合
写的。

应当对 A. A. 皮斯特里閣尔斯表示感謝，他审閱了書稿并提出了一
些寶貴意見。

感謝波波夫学会的天線組和它的領導人 A. P. 沃尔皮爾特，他們
討論了書稿，提出的寶貴意見在准备出版时都采納了。

特別感謝本書的編輯 A. M. 莫捷里，他在編輯書稿时作了許多工
作。也应感謝 E. M. 巴巴楊、Л. К. 奧立芬和 В. Г. 揚包里斯基，他
們在編輯書稿的过程中給了著者帮助，感謝評論員 A. З. 夫拉金和
Г. Н. 克契爾热夫斯基，他們提出了許多寶貴意見。

Г. З. 爱金堡

目 录

前 言

第一章 电磁場方程	1
§ 1.1. 麦克斯韋方程和連續性方程.....	1
§ 1.2. 波动方程.....	6
§ 1.3. 边界条件。列昂陶維奇边界条件.....	7
§ 1.4. 烏莫夫——波印廷定理.....	9
第二章 电磁波能量傳輸綫的一般理論	11
§ 2.1. 波的分类。分类的物理意义.....	11
§ 2.2. 把麦克斯韋方程和波动方程变換成便于研究引导波的形式.....	15
§ 2.3. 橫电磁波($E_z = H_z = 0$).....	17
§ 2.4. 电波和磁波.....	22
§ 2.5. 从布立倫概念来看上述結果的意义.....	26
第三章 金属波导和同軸綫	30
§ 3.1. 矩形波导中場的分布.....	30
§ 3.2. 圆形波导中的 E 和 H 型波	40
§ 3.3. 波导壁上的电流.....	47
§ 3.4. 波导中的衰減.....	49
§ 3.5. 在有限長度波导中波的傳播.....	60
§ 3.6. 同軸綫中的波.....	65
第四章 介質波导和表面波傳輸綫	69
§ 4.1. 介質波导中的波型.....	69
§ 4.2. 在柱面坐标系里 E 和 H 分量的一般公式	70
§ 4.3. 介質波导内外电磁場分量的一般公式。边界条件的提出.....	70
§ 4.4. 在介質波导中不对称的波型 E_{nm} 和 H_{nm} 不可能独立存在.....	73
§ 4.5. 不对称波特性的分析.....	75
§ 4.6. 对称波的临界波和相速.....	83

§ 4.7. 內外空間的能量分配.....	85
§ 4.8. 介質波导中的衰減.....	88
§ 4.9. 結論.....	91
§ 4.10. 沿圓柱導体傳播的表面波，導体的導電率為有限值.....	92
§ 4.11. 沿塗有介質層的理想圓柱導体的表面波的傳播.....	98
§ 4.12. 單導線上表面波的激励.....	103
第五章 辐射的基本理論。惠更斯——基爾霍夫原理.....	105
§ 5.1. 古典电动力学中的辐射过程.....	105
§ 5.2. 根據給定的源（电流和电荷）和根據給定的包围集中源的 表面上的場的分布來決定場.....	107
§ 5.3. 根據包围有源的体积表面上的电流和 \bar{E} 、 \bar{H} 的正切分量決 定場.....	117
§ 5.4. 包圍源的表面上的电磁場與表面电流、表面电荷的等效性.....	119
§ 5.5. 表面上 \bar{E} 和 \bar{H} 分布的中断.....	120
第六章 基本电振子和磁振子的辐射.....	124
§ 6.1. 基本电振子的辐射.....	124
§ 6.2. 基本磁振子的辐射.....	130
§ 6.3. 基本磁振子的物理模型.....	130
§ 6.4. 基本缝隙振子的辐射。基本缝隙振子和基本磁振子的恒等 性.....	133
§ 6.5. 有电流和磁流的基本振子（惠更斯元）.....	133
第七章 線振子的辐射.....	141
§ 7.1. 對稱線電振子的方向圖.....	141
§ 7.2. 對稱電振子的輻射功率和輻射電阻.....	145
§ 7.3. 沿對稱缝隙振子的電場強度（磁流）分佈.....	147
§ 7.4. 對稱缝隙振子的方向性和輻射電導.....	150
第八章 有效發射天綫的制作方法和說明它的有效性的電參 數.....	151
§ 8.1. 有效發射天綫的制作方法.....	151
§ 8.2. 說明發射天綫有效性的電參數.....	157
§ 8.3. 半波振子和基本振子的參數.....	164
§ 8.4. 方向系数的近似計算.....	165

第九章 線振子輻射系統	166
§ 9.1. 电振子	166
§ 9.2. 同相線縫隙振子的輻射	172
§ 9.3. 感應電動勢法和它在計算由線振子組成的天線時的應用	173
§ 9.4. 縫隙振子系統的感應輻射電導的計算	183
§ 9.5. 根據對方向圖的要求，用道里夫-切比雪夫(Дольф-Чебышев)法 設計由同相激勵振子組成的天線	186
第十章 行波線天線	199
§ 10.1. 工作原理	199
§ 10.2. 方向性	201
§ 10.3. 方向系數。天線長度和相速之間的最佳關係	204
§ 10.4. 計算結果	213
第十一章 面天線的輻射	218
§ 11.1. 輻射面的形狀	218
§ 11.2. 同相激勵矩形平面的輻射	221
§ 11.3. 激勵振幅按 $E = E_0 \cos\left(\frac{\pi x}{a}\right)$ 的規律變化時，同相激勵矩 形平面的輻射	225
§ 11.4. 同相均勻激勵的圓面的輻射	225
§ 11.5. 激勵不均勻的圓面的輻射	226
§ 11.6. 同相面天線的主瓣和付瓣間的能量分配	227
§ 11.7. 相位畸變对面輻射的影響	232
§ 11.8. 同相面輻射公式表	242
第十二章 一般接收理論。分析接收天線時互易原理的应用	243
§ 12.1. 接收的物理過程	243
§ 12.2. 互易原理應用到接收天線特性的分析	244
§ 12.3. 接收天線的等效電路。最大功率輸出的條件	247
§ 12.4. 应用互易原理分析接收用的对称振子	248
§ 12.5. 說明接收天線電特性的參數	249
§ 12.6. 用增益系數表示到达接收機輸入端的最大功率	250
§ 12.7. 接收天線的吸收面積	250
第十三章 對稱和不對稱的電振子	252

§ 13.1. 对称振子.....	252
§ 13.2. 对称振子的电参数.....	262
§ 13.3. 有反射器或引向器的振子.....	272
§ 13.4. 有面反射器的振子.....	279
§ 13.5. 不对称振子.....	284
第十四章 靠近金属物体的振子的辐射	287
§ 14.1. 問題的提出.....	287
§ 14.2. 分析方法.....	288
§ 14.3. 椭圆坐标系.....	289
§ 14.4. 平面波在椭圆柱上的繞射.....	291
§ 14.5. 基本电振子的方向圖公式。振子軸和柱体軸平行.....	296
§ 14.6. 基本电振子的方向圖公式。振子軸在与柱体軸垂直的平面 内.....	300
§ 14.7. 在椭圆柱体表面上的基本縫隙振子的方向圖公式。振子軸 在与柱体軸垂直的平面内.....	302
§ 14.8. 在椭圆柱体表面上的基本縫隙振子的方向圖公式。振子軸 和柱体軸平行.....	304
§ 14.9. 方向圖的計算結果.....	306
§ 14.10. 应用所得結果計算有限長度振子的方向圖.....	313
§ 14.11. 所得公式和圖的应用范围.....	315
第十五章 波导口的辐射	319
§ 15.1. 概述.....	319
§ 15.2. 矩形波导的辐射.....	321
§ 15.3. 圆形截面波导口的辐射.....	325
§ 15.4. 波导的激励.....	329
第十六章 喇叭天线	332
§ 16.1. 工作原理。喇叭天线的型式.....	332
§ 16.2. 矩形截面喇叭的电磁場分布.....	333
§ 16.3. 方向性.....	342
§ 16.4. 方向系数和增益系数.....	352
§ 16.5. 用透鏡校正喇叭孔徑上的相位畸变.....	357
§ 16.6. 复式喇叭天线.....	358

第十七章 透鏡天線	358
§ 17.1. 光透鏡的工作原理和特性簡述	358
§ 17.2. 平行金屬片做成的加速式透鏡	362
§ 17.3. 平行金屬片做成的分区透鏡	367
§ 17.4. 平行金屬片透鏡的折射系数的选择	369
§ 17.5. 平行金屬片透鏡天線的方向圖和方向系数。天線孔徑上的振幅分佈	370
§ 17.6. 平行金屬片透鏡的通頻帶	375
§ 17.7. 平行金屬片透鏡的技术公差	379
§ 17.8. 人造介質減速式透鏡	382
§ 17.9. 金屬介質透鏡的輪廓。透鏡表面的反射。振幅的分佈。折射系数的选择	394
§ 17.10. 人造介質的分区透鏡	397
§ 17.11. 透鏡后面上振幅的分佈。方向性。金屬介質透鏡天線的 D , ϵ 和 η	399
§ 17.12. 人造介質透鏡的制造精确度	402
§ 17.13. 透鏡表面的反射波对天線饋線工作状态的影响	402
§ 17.14. 金屬介質透鏡的實驗数据	407
§ 17.15. 其他型式的透鏡	412
§ 17.16. 波在有平面陣的媒質中傳播时的一般分析	417
第十八章 拱物面天線	429
§ 18.1. 旋轉拱物面天線的主要几何特性	429
§ 18.2. 拱物面天線的圖形和工作原理	431
§ 18.3. 拱物面上的电流	434
§ 18.4. 拱物面天線的方向性	440
§ 18.5. 拱物面天線的方向系数和增益系数	447
§ 18.6. 照射器的型式	452
§ 18.7. 拱物面天線方向圖的控制	458
§ 18.8. 鏡面反射波对于照射器与饋線匹配影响	463
§ 18.9. 付瓣。相鄰天線的相互影响。交叉極化	470
§ 18.10. 技术公差	476
§ 18.11. 喇叭拱物面天線	478

§ 18.12. 抛物柱面.....	480
第十九章 潜望天线系統	493
§ 19.1. 工作原理.....	493
§ 19.2. 有旋轉拋物面下鏡的潛望天線系統.....	495
§ 19.3. 有橢圓下鏡的潛望天線系統。工作原理.....	503
§ 19.4. 从橢圓下鏡向平面上鏡傳輸能量时的效率.....	506
§ 19.5. 用橢圓下鏡时上鏡表面的利用系数.....	510
§ 19.6. 系統的增益系数.....	512
§ 19.7. 潜望天線系統的方向圖.....	512
§ 19.8. 下鏡的寄生輻射.....	515
§ 19.9. 概述.....	517
第二十章 角形天線	518
§ 20.1. 天線圖.....	518
§ 20.2. 方向性.....	519
§ 20.3. φ 区域內場的近似計算方法	524
§ 20.4. 方向系数和增益系数.....	527
§ 20.5. 角形天線尺寸的选择.....	531
§ 20.6. 振子型式的選擇.....	532
§ 20.7. 實驗数据.....	532
第二十一章 用柵網或平行片系統代替金屬實面	539
§ 21.1. 問題的提出.....	539
§ 21.2. 單線金屬網.....	540
§ 21.3. 板條柵網.....	558
§ 21.4. 用柵網或板組代替實面.....	559
第二十二章 波导縫隙天線	560
§ 22.1. 波导上的縫隙.....	560
§ 22.2. 波导縫隙天線的形式.....	561
§ 22.3. 譜振天線.....	562
§ 22.4. 不譜振天線.....	565
§ 22.5. 匹配的偏斜縫隙天線.....	567
§ 22.6. 方向性。方向系数和增益系数.....	569
§ 22.7. 波导上縫隙的導納和阻抗.....	575

§ 22.8. 反射系数的变换, 辐射功率和通过功率之间的关系, 缝上 场的相位.....	587
§ 22.9. 多缝天线计算的几个问题.....	589
§ 22.10. 偏斜缝隙天线的一些实验数据.....	597
第二十三章 介質天線	600
§ 23.1. 說明和工作原理.....	600
§ 23.2. 波型的选择, 介質棒的直徑和長度的选择.....	601
§ 23.3. 方向性.....	604
§ 23.4. 方向系数, 效率和增益系数.....	612
§ 23.5. 介質天線特性.....	612
§ 23.6. 介質棒的制作及其激励.....	621
§ 23.7. 复式介質天線.....	622
§ 23.8. 空管介質天線.....	627
第二十四章 引向天線	629
§ 24.1. 圖形和工作原理.....	629
§ 24.2. 引向天線的計算.....	631
§ 24.3. 引向天線的近似分析法.....	636
§ 24.4. 引向天線的計算数据和实验数据.....	645
§ 24.5. 無源振子尺寸的选择.....	659
§ 24.6. 引向天線的通頻帶.....	660
§ 24.7. 引向天線的結構.....	661
§ 24.8. 缝隙引向天線.....	663
第二十五章 螺旋天線	664
§ 25.1. 圖形和工作原理.....	664
§ 25.2. 計算公式.....	668
§ 25.3. 一些实验数据.....	670
附录	682

第一章 电磁場方程

§ 1.1 麦克斯韦方程和連續性方程

a) 麦克斯韦方程

麦克斯韦方程可写成下列矢量形式：

$$\operatorname{rot} \bar{H} = \bar{j} + \frac{\partial \bar{D}}{\partial t}, \quad (1.1.1)$$

$$\operatorname{rot} \bar{E} = - \frac{\partial \bar{B}}{\partial t}, \quad (1.1.2)$$

$$\operatorname{div} \bar{D} = \rho, \quad (1.1.3)$$

$$\operatorname{div} \bar{B} = 0. \quad (1.1.4)$$

在各向同性的媒質里，

$$\bar{D} = \epsilon \bar{E},$$

$$\bar{B} = \mu \bar{H},$$

麦克斯韦方程变为

$$\operatorname{rot} \bar{H} = \bar{j} + \epsilon \frac{\partial \bar{E}}{\partial t}, \quad (1.1.5)$$

$$\operatorname{rot} \bar{E} = - \mu \frac{\partial \bar{H}}{\partial t}, \quad (1.1.6)$$

$$\epsilon \operatorname{div} \bar{E} = \rho, \quad (1.1.7)$$

$$\mu \operatorname{div} \bar{H} = 0. \quad (1.1.8)$$

在(1.1.1—1.1.8)式中：

\bar{E} 和 \bar{H} 分别表示电场和磁场强度矢量，单位是伏/米和安/米；

\bar{j} 是传导电流的体积密度， $\bar{j} = \gamma_e \bar{E}$ ， γ_e 是媒质的电导率，单位

是姆/米；

ϵ 是媒質的介电常数，單位是法/米，在自由空間

$$\epsilon = \epsilon_0 = \frac{1}{4\pi \times 9 \times 10^9} \text{ 法/米};$$

μ 是媒質的磁导率單位是亨/米。在自由空間

$$\mu = \mu_0 = 4\pi \times 10^{-7} \text{ 亨/米};$$

ρ 是电荷体积密度，單位是庫/米³；

\overline{D} 是电位移矢量，單位是庫/米²；

\overline{B} 是磁感应矢量，單位是韋/米²。

在諧和振盪时， $\frac{\partial \overline{E}}{\partial t} = i\omega \overline{E}$, $\frac{\partial \overline{H}}{\partial t} = i\omega \overline{H}$, 方程(1.1.5)和(1.1.6)

取下列形式：

$$\text{rot } \overline{H} = \overline{j} + i\omega \epsilon \overline{E}, \quad (1.1.9)$$

$$\text{rot } \overline{E} = -i\omega \mu \overline{H}. \quad (1.1.10)$$

如果在方程(1.1.9)里代入 $\overline{j} = \gamma_v \overline{E}$, 它就变为

$$\text{rot } \overline{H} = i\omega \epsilon' \overline{E}, \quad (1.1.11)$$

式中 ϵ' 是复数介电常数并等于

$$\epsilon' = \epsilon \left(1 + \frac{\gamma_v}{i\omega \epsilon} \right). \quad (1.1.12)$$

解决实际問題时常常用标量形式的麦克斯韋方程，这些方程表示場矢量在不同的坐标系里的各分量之間的关系。这些方程的形式与所选用的坐标系有关。

在直交坐标系里，諧和振盪的方程取下列形式：

$$\left. \begin{aligned} \frac{\partial H_z}{\partial y} - \frac{\partial H_y}{\partial z} &= i\omega \epsilon' E_x, \\ \frac{\partial H_x}{\partial z} - \frac{\partial H_z}{\partial x} &= i\omega \epsilon' E_y, \\ \frac{\partial H_y}{\partial x} - \frac{\partial H_x}{\partial y} &= i\omega \epsilon' E_z \end{aligned} \right\} \quad (1.1.13)$$

$$\left. \begin{aligned} \frac{\partial E_x}{\partial y} - \frac{\partial E_y}{\partial z} &= -i\omega\mu H_z, \\ \frac{\partial E_x}{\partial z} - \frac{\partial E_z}{\partial x} &= -i\omega\mu H_y, \\ \frac{\partial E_y}{\partial x} - \frac{\partial E_z}{\partial y} &= -i\omega\mu H_x. \end{aligned} \right\} \quad (1.1.14)$$

$$\operatorname{div} \bar{D} = \frac{\partial D_x}{\partial x} + \frac{\partial D_y}{\partial y} + \frac{\partial D_z}{\partial z} = \rho, \quad (1.1.15)$$

$$\operatorname{div} \bar{B} = \frac{\partial B_x}{\partial x} + \frac{\partial B_y}{\partial y} + \frac{\partial B_z}{\partial z} = 0, \quad (1.1.16)$$

式中 $E_x, E_y, E_z, H_x, H_y, H_z$ 是电场和磁场矢量沿坐标轴 x, y, z 的分量。

在柱面坐标系里（图 1.1.1），麦克斯韦方程取下列形式：

$$\left. \begin{aligned} \frac{1}{r} \frac{\partial H_r}{\partial \varphi} - \frac{\partial H_\varphi}{\partial z} &= i\omega\epsilon' E_r, \\ \frac{\partial H_r}{\partial z} - \frac{\partial H_z}{\partial r} &= i\omega\epsilon' E_\varphi, \\ \frac{1}{r} \frac{\partial}{\partial r} (rH_\varphi) - \frac{1}{r} \frac{\partial H_r}{\partial \varphi} &= i\omega\epsilon' E_z. \end{aligned} \right\} \quad (1.1.17)$$

$$\left. \begin{aligned} \frac{1}{r} \frac{\partial E_z}{\partial \varphi} - \frac{\partial E_\varphi}{\partial z} &= -i\omega\mu H_r, \\ \frac{\partial E_r}{\partial z} - \frac{\partial E_z}{\partial r} &= -i\omega\mu H_\varphi, \\ \frac{1}{r} \frac{\partial}{\partial r} (rE_\varphi) - \frac{1}{r} \frac{\partial E_r}{\partial \varphi} &= -i\omega\mu H_z. \end{aligned} \right\} \quad (1.1.18)$$

$$\operatorname{div} \bar{D} = \frac{1}{r} \frac{\partial}{\partial r} (rD_r) + \frac{1}{r} \frac{\partial D_\varphi}{\partial \varphi} + \frac{\partial D_z}{\partial z} = \rho; \quad (1.1.19)$$

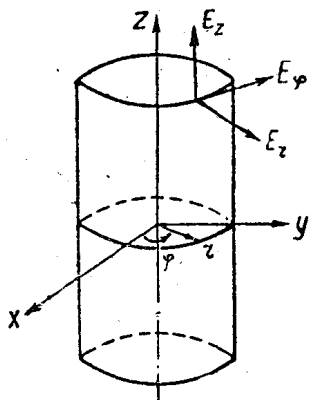


圖 1.1.1 在柱面坐标系里場的分量

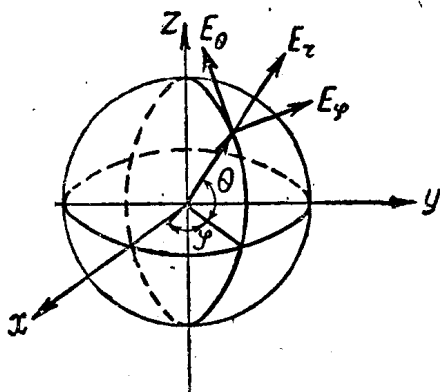


圖 1.1.2 在球面坐标系里場的分量

$$\operatorname{div} \vec{B} = \frac{1}{r} \frac{\partial}{\partial r} (r B_r) + \frac{1}{r} \frac{\partial B_\varphi}{\partial \varphi} + \frac{\partial B_z}{\partial z} = 0, \quad (1.1.20)$$

式中 $E_r, E_\varphi, E_z, H_r, H_\varphi, H_z$ 是电場和磁场强度矢量沿坐标軸 r, φ, z 的分量。

麦克斯韋方程在球面坐标系里（圖 1.1.2）取下列形式：

$$\left. \begin{aligned} \frac{1}{r \cos \theta} \left[\frac{\partial}{\partial \theta} (H_\varphi \cos \theta) - \frac{\partial H_\theta}{\partial \varphi} \right] &= -i\omega \epsilon' E_r \\ \frac{1}{r} \left[\frac{1}{\cos \theta} \frac{\partial H_r}{\partial \varphi} - \frac{\partial}{\partial r} (r H_\varphi) \right] &= -i\omega \epsilon' E_\varphi \\ \frac{1}{r} \left[\frac{\partial}{\partial r} (r H_\theta) - \frac{\partial H_r}{\partial \theta} \right] &= -i\omega \epsilon' E_z \end{aligned} \right\} \quad (1.1.21)$$

$$\left. \begin{aligned} \frac{1}{r \cos \theta} \left[\frac{\partial}{\partial \theta} (E_\varphi \cos \theta) - \frac{\partial E_\theta}{\partial \varphi} \right] &= i\omega \mu H_r \\ \frac{1}{r} \left[\frac{1}{\cos \theta} \frac{\partial E_r}{\partial \varphi} - \frac{\partial}{\partial r} (r E_\varphi) \right] &= i\omega \mu H_\varphi \\ \frac{1}{r} \left[\frac{\partial}{\partial r} (r E_\theta) - \frac{\partial E_r}{\partial \theta} \right] &= i\omega \mu H_z \end{aligned} \right\} \quad (1.1.22)$$

$$\operatorname{div} \vec{D} = \frac{1}{r^2} \frac{\partial}{\partial r} (r^2 D_r) + \frac{1}{r \cos \theta} \frac{\partial}{\partial \theta} (D_\theta \cos \theta) + \frac{1}{r \cos \theta} \frac{\partial D_\varphi}{\partial \varphi} = \rho, \quad (1.1.23)$$

$$\operatorname{div} \bar{B} = \frac{1}{r^2} \frac{\partial}{\partial r} (r^2 B_r) + \frac{1}{r \cos \theta} \frac{\partial}{\partial \theta} (B_\theta \cos \theta) + \frac{1}{r \cos \theta} \frac{\partial B_\varphi}{\partial \varphi} = 0, \quad (1.1.24)$$

式中 $E_r, E_\varphi, E_\theta, H_r, H_\varphi, H_\theta$ 是电场和磁场强度矢量沿坐标轴 r, φ, θ 的分量。

b) 积分形式的麦克斯韦方程

积分形式的麦克斯韦方程是

$$\oint_L \bar{H} d\bar{l} = \int_F \left(\bar{j} + \frac{\partial \bar{D}}{\partial t} \right) d\bar{F} = \int_F (\bar{j} + \bar{j}_{ex}) d\bar{F} \quad (1.1.25)$$

$$\oint_L \bar{E} d\bar{l} = - \int_F \frac{\partial \bar{B}}{\partial t} d\bar{F}, \quad (1.1.26)$$

式中 \bar{j} 和 \bar{j}_{ex} 分别是穿过闭合回路 L 的传导电流和位移电流密度；
 F 是闭合回路 L 所圈出的表面。

c) 在麦克斯韦方程中引入磁流和磁荷

在解许多问题时（第 5, 6 章），最好引用磁流(\bar{j}_m)和磁荷(ρ_m)的概念。把磁流和磁荷考虑在内时，微分形式的麦克斯韦矢量方程变为：

$$\operatorname{rot} \bar{H} = \bar{j} + \epsilon \frac{\partial \bar{E}}{\partial t}, \quad (1.1.27)$$

$$\operatorname{rot} \bar{E} = - \bar{j}_m - \mu \frac{\partial \bar{H}}{\partial t}, \quad (1.1.28)$$

$$\operatorname{div} \bar{D} = \rho, \quad (1.1.29)$$

$$\operatorname{div} \bar{B} = \rho_m. \quad (1.1.30)$$

可以写出与(1.1.13)–(1.1.24)相类似的标量形式的麦克斯韦方程。

d) 連續性方程

在某一点电流和电荷之間的关系是

$$\operatorname{div} \vec{j} + \frac{\partial \rho}{\partial t} = 0 \quad (1.1.31)$$

与此类似

$$\operatorname{div} \vec{j}_M + \frac{\partial \rho_M}{\partial t} = 0. \quad (1.1.32)$$

如果把(1.1.29)和(1.1.30)中 ρ 和 ρ_M 的值代入(1.1.31)和(1.1.32)得：

$$\operatorname{div} \left(\vec{j} + \frac{\partial \vec{D}}{\partial t} \right) = 0, \quad (1.1.33)$$

$$\operatorname{div} \left(\vec{j}_M + \frac{\partial \vec{B}}{\partial t} \right) = 0, \quad (1.1.34)$$

則(1.1.31)和(1.1.32)式的意义就更明显。

(1.1.33)和(1.1.34)式說明由單位体积出来的电流的总和等于零。

可以把矢量 $\frac{\partial \vec{B}}{\partial t}$ 称为位移磁流。

当电流和磁流沿着某一方向 z 直綫流动时，(1.1.31)和(1.1.32)式变为：

$$\frac{\partial I}{\partial z} + \frac{\partial \rho_A}{\partial t} = 0, \quad (1.1.35)$$

$$\frac{\partial I_M}{\partial z} + \frac{\partial \rho_{AM}}{\partial t} = 0, \quad (1.1.36)$$

式中 ρ_A 和 ρ_{AM} 是电荷和磁荷沿 z 軸的綫性密度。

§ 1.2 波动方程

波动方程可以直接从麦克斯韋方程推出来。应用到諧和振盪，波动方程可写为下列形式：

$$\nabla^2 \bar{E} = \mu\epsilon' \frac{\partial^2 \bar{E}}{\partial t^2} = -\omega^2 \mu\epsilon' \bar{E}, \quad (1.2.1)$$

$$\nabla^2 \bar{H} = \mu\epsilon' \frac{\partial^2 \bar{H}}{\partial t^2} = -\omega^2 \mu\epsilon' \bar{H}, \quad (1.2.2)$$

式中 ∇^2 是拉普拉斯算子。

在直交坐标系里：

$$\nabla^2 A = \frac{\partial^2 A}{\partial x^2} + \frac{\partial^2 A}{\partial y^2} + \frac{\partial^2 A}{\partial z^2}.$$

在柱面坐标系里：

$$\nabla^2 A = \frac{\partial^2 A}{\partial r^2} + \frac{1}{r} \frac{\partial A}{\partial r} + \frac{1}{r^2} \frac{\partial^2 A}{\partial \varphi^2} + \frac{\partial^2 A}{\partial z^2}.$$

在球面坐标系里：

$$\nabla^2 A = \frac{\partial^2 A}{\partial r^2} + \frac{1}{r^2} \frac{\partial^2 A}{\partial \theta^2} + \frac{1}{r^2 \cos^2 \theta} \frac{\partial^2 A}{\partial \varphi^2} + \frac{2}{r} \frac{\partial A}{\partial r} + \frac{\operatorname{tg} \theta}{r^2} \frac{\partial A}{\partial \theta}.$$

不仅总矢量 \bar{E} 和 \bar{H} 而且直交坐标系里的各分量也都满足波动方程 (1.2.1) 和 (1.2.2)。在柱面坐标里分量 E_z 和 H_z 也满足这些方程。

这些方程的等号左边部分说明电磁场的几何结构。等号右边部分说明场随时间变化的速度，是频率的函数。所以波动方程说明场的结构与频率有关^①。 TEM 型波是例外，它的结构与频率无关(§ 2.3)。

§ 1.3 边界条件。列昂陶维奇边界条件

在两个媒质的交界处要满足下列条件：

1. 从一个媒质过渡到另一个媒质时，电场强度矢量的切线分量是连续的。这一定律可写为下列矢量形式：

$$[\bar{n} \bar{E}_1] = [\bar{n} \bar{E}_2], \quad (1.3.1)$$

式中 \bar{E}_1 和 \bar{E}_2 是分界面两边的两媒质中的电场强度矢量，

\bar{n} 是沿交界面法线的单位矢量。

① 例子是波导中的 E 和 H ，当频率改变时，部分波的传播方向也随着改变(第 2 和 3 章)。